



تجزیه و تحلیل ژنتیکی و فیلوجنتیکی نواحی Cyt-b و D-loop DNA توالی میتوکندری در گاوهاي سیستانی، سرابی و براون سوئیس ایران

رضا ولیزاده^۱- محمد رضا نصیری^{۲*}- بلال صادقی^۳- شاهرخ قوتی^۴- علی جوادمنش^۵

تاریخ دریافت: ۸۹/۹/۲۱

تاریخ پذیرش: ۹۰/۵/۱۹

چکیده

مطالعه مولکولی ساختار ژنتیکی گاو در جهت شناخت دقیق‌تر خاستگاه این حیوان می‌تواند در شناخت جنبه‌های نامشخص تاریخی آن موثر باشد. نژادهای گاو به دو گروه اصلی تأثیرس بدون کوهان (Bos Taurus) و ایندیکوس کوهان دار (Bos indicus) تقسیم می‌شوند. به نظر می‌رسد هر دو گروه گاوهای ذکر شده در جمعیت گاوهاي ایران موجود می‌باشد. با مطالعات ملکولی می‌توان وابستگی گاوها را به هر یک از این گروه‌ها مشخص نمود. شناخت این وابستگی از نظر خاستگاه آن‌ها دارای اهمیت خاصی است. هدف از این مطالعه بررسی توالی نوکلئوتیدی جایگاه‌های ژنی HVR 1&2 Cytochrome-b DNA در سه گروه از گاوهاي سیستانی، سرابی و براون سوئیس بود. استخراج DNA از تعداد ۲۰ نمونه خون از هر نژاد از بانک خون گروه علوم دامی دانشکده کشاورزی دانشگاه فردوسی مشهد با در نظر گرفتن عدم خویشاوندی بین نمونه‌ها گرفته و DNA آن‌ها به روش گوانیدین تیوسیانات- سیلیکاژل استخراج شد. واکنش زنجیره ای پلیمراز با طراحی پرایمرهای اختصاصی برای تکثیر قطعات Cyt-b 1&2 و HVR 1&2 جفت بازی نواحی ژنی ۷۰۱ و ۷۵۱ از توالی ژنوم میتوکندری براساس روش استاندارد انجام گردید. توالی یابی نواحی تکثیر شده از ژن‌های Cyt-b و D-loop با استفاده از دستگاه خودکار ABI 3130 به روش سانگر صورت گرفت. تنوع نوکلئوتیدی به ترتیب برای نژادهای براون سوئیس، سرابی و سیستانی حدود ۰/۰۰۲۴، ۰/۰۰۲۷ و ۰/۰۰۲۹ براورد شد. با توجه به مشاهده تفاوت‌های نوکلئوتیدی در نواحی ژنی Cyt-b و HVR 1&2 نسبت به ثبت آنها در ژن بانک جهانی اقدام شد. نتایج آزمون فیلوجنتیکی با استفاده از UPGMA برای هر دو جایگاه ژنی نشان داد که گاوهاي سرابی و سیستانی در یک گروه و گاو نژاد براون سوئیس در گروه دیگر قرار دارند.

واژه‌های کلیدی: DNA میتوکندریایی، گاو بومی، گاو بومی، Cyt-b، D-loop، mtDNA

مقدمه

mtDNA نشانگر بسیار مناسبی برای تشخیص بین گونه‌ای گروههایی است که برای ۱۰۰ تا ۱۰۰۰۰ سال از هم جدا بوده‌اند. همچنین سرعت بالای تکامل mtDNA در مقایسه با DNA هسته‌ای، باعث شده که از آن برای مطالعات تکاملی استفاده گردد. سرعت جایگزینی نوکلئوتیدها در برخی از نواحی ژنی mtDNA مهره‌داران عالی تقریباً ۵ تا ۱۰ برابر بیشتر از ژنوم هسته‌ای است (۲۳). در بین نشانگرهای ژنتیکی، توالی یابی ژنوم میتوکندری یکی از کاربردی ترین روشها برای تعیین رابطه فیلوجنتیکی بین جمیعت‌ها و گونه‌های نزدیک به هم محسوب می‌شود (۸، ۹ و ۱۱).

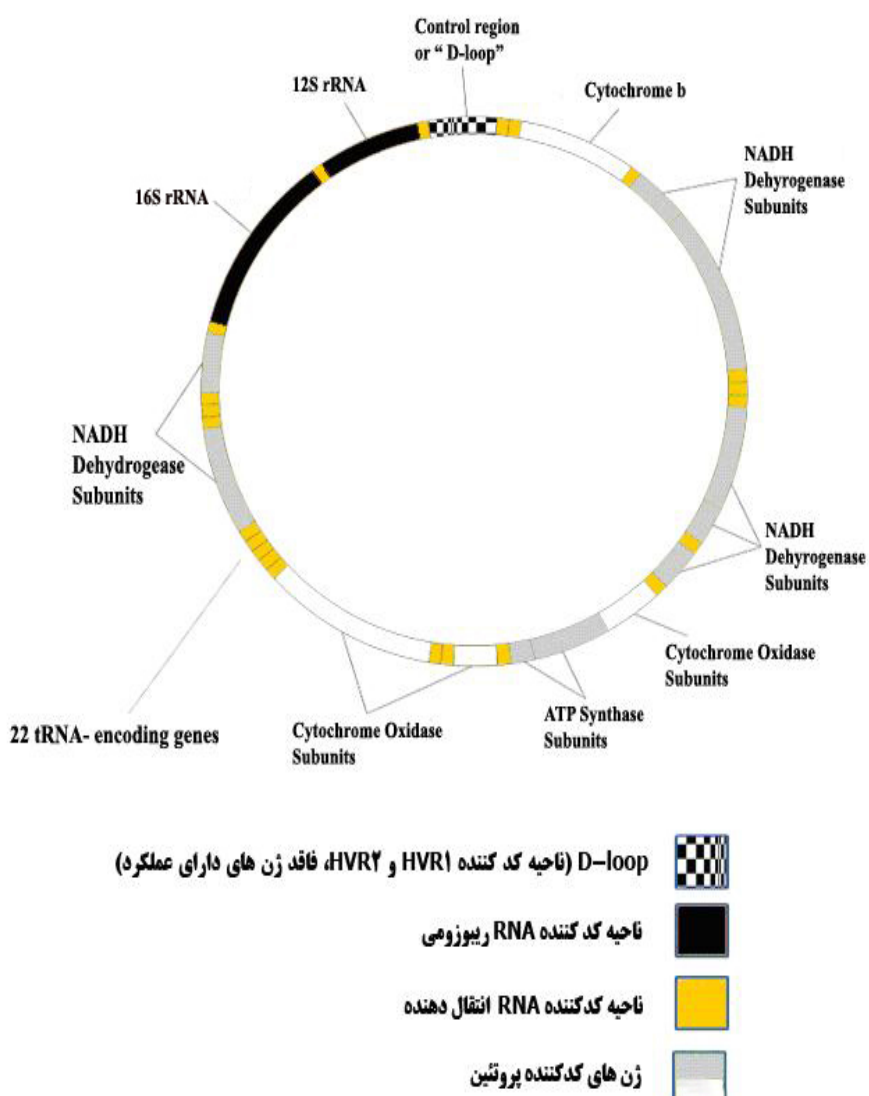
توالی یابی میتوکندری با مقایسه نوکلئوتیدها و مشخص شدن اختلاف بین توالی‌های مختلف، تنوع نوکلئوتیدی و هاپلوتایپی تعیین می‌گردد. با استفاده از این اطلاعات، رابطه فیلوجنتیکی و فیلوجئوگرافی گونه‌ها ترسیم می‌شود. به کمک این روش و همچنین استفاده از اطلاعات بانک ژن، تشخیص گونه‌ها و بررسی فرایند اهلی سازی

DNA میتوکندریایی (mtDNA) در تشخیص گونه‌ها و ترسیم رابطه فیلوجنتیکی دارای مزایایی از جمله تعداد زیاد نسخه به ازای هر سلول (تقرباً ۱۰۰۰ نسخه و بیشتر)، اندازه کوچکتر آن از DNA ژنومی (۱۲ و ۲۷)، وراثت پذیری مادری (۲۸)، هاپلotype بودن، عدم وجود نوترکیبی در آنها (۲۳ و ۲۶)، وجود نواحی حفاظت شده (۲۹)، وجود نواحی حفاظت نشده‌ای مانند ناحیه D-Loop برای مطالعات تکاملی گونه‌های وابسته می‌باشد (۱، ۳، ۶ و ۱۰). از این رو

- ۱، ۳ و ۴- به ترتیب استاد، دانشجویان دکتری تخصصی ژنتیک و اصلاح نژاد دام، گروه علوم دامی، دانشکده کشاورزی، دانشگاه فردوسی مشهد
- ۲- دانشیار پژوهشکده فناوری زیستی، و گروه علوم دامی، دانشکده کشاورزی، دانشگاه فردوسی مشهد
- (*)- نویسنده مسئول: Email: nassiryr@um.ac.ir
- ۵- دانشجوی دکتری تخصصی ژنتیک و اصلاح نژاد دام، دانشکده کشاورزی، دانشگاه آدلاید استرالیا

رو جهش های صورت گرفته در آن ابقاء می شوند (۱۸). لافتاس و همکاران (۲۰)، با استفاده از تنوع DNA میتوکندریایی، شواهد مولکولی مبنی بر انشعاب گاوهای زب و تأثیرین قبل از اهلی شدن، از یکدیگر را ارائه نموده و چگونگی قوی این دو روند اهلی سازی مستقل از یکدیگر را نشان داده اند. چندشکلی توالی بین نژادهای کوهان دار و بدون کوهان در نواحی کمتر متغیر ژنهای tRNA و نیز در منشأ همانندسازی رشته سبک نیز شناسایی شده است (۲۴). در مطالعه ای دیگر مشخص شد که وجود تفاوت در توزیع توالی mtDNA، نشان دهنده وجود خاستگاه های متفاوت جمعیت گاوهای بدون کوهان بومی آفریقا و اروپا می باشد (۷).

میسر می شود (۱۴، ۱۵، ۱۶، ۲۱ و ۲۲). به دلیل هاپلوئید بودن ژنوم میتوکندری و در نتیجه انجام نشدن فرآیند میوز، ژنوم میتوکندری قابلیت بالایی در مطالعات فیلوزنوتیکی دارد. منطقه ای در ژنوم میتوکندری وجود دارد که کد کننده پروتئین نبوده و جهش در آن منطقه می تواند تجمع پیدا کند. این منطقه در ناحیه D-Loop دارد (شکل ۱). ناحیه پیشبر برای آغاز HVR همانند سازی ژنوم میتوکندری است (۲). دو منطقه به نامهای HVR ۱ و ۲ در HVR دارد که به دو دلیل زیر میانگین جهش در آنها بیشتر از سایر قسمتهای ژنوم میتوکندری است: اول اینکه این دو ناحیه کد کننده هیچ پروتئینی نیستند، دوم اینکه در ناحیه D-Loop که پیشبر رونویسی است نقش مهمی ندارند و از این



شکل ۱- تصویر شماتیک ساختار حلقوی DNA میتوکندری که حاوی ۲۲ ناحیه ژنی کد کننده tRNA و ۱۳ ناحیه کد کننده پروتئین می باشد (۲).

mM Tris-HCl و غلظت مواد به شرح زیر بود: (pH 8.8) ۱۰۰ U آنزیم *Taq* پلیمراز، ۱/۰ میلی گرم بر میلی لیتر(BSA)، ۱۰۰ mM dNTP، ۱/۵ mM MgCl₂ از پرایمر اختصاصی هر ژن و ۱۰۰ نانوگرم از DNA هدف که با استفاده از برنامه حرارتی ذکر شده در ۳۵ سیکل تکثیر شد (جدول ۲ و ۳). الکتروفوروز محصولات واکنش زنجیره‌ای پلیمراز بر روی ژل آگارز ۱/۵ درصد و رنگ آمیزی ژل با اتیدیوم بروماید صورت گرفت.

توالی یابی نواحی ژنی Cyt-b و رسم درخت فیلوژنتیکی

مقدار ۱۰۰ میکرولیتر از محصولات واکنش زنجیره‌ای پلیمراز، خالص سازی شد و به همراه ۵۰ میکرولیتر از هر یک از آغازگرهای رفت و برگشت مورد استفاده با غلظت ۱۰ پیکامول به منظور تعیین توالی به شرکت Bioneer کره جنوبی ارسال شد. این نمونه‌ها با استفاده از دستگاه ABI 3130 به روش اتوماتیک سانگر توالی یابی گردید. سپس با استفاده از نرم افزار BioEdit نسخه ۳/۳ و ابزار NCBI قدرتمند BLAST و رویه blastn در پایگاه (http://www.ncbi.nlm.nih.gov/BLAST) میزان هموژوئی توالی‌های بدست آمده سنجیده شد. برای همچنین به منظور بررسی رابطه فیلوژنتیکی نژادهای مورد مطالعه، نمودار درختی با استفاده از رویه Neighbor-Joining توالی‌های همردیف شده، به کمک نرم افزار BioEdit رسم گردید (۱۷). برای تعیین هاپلوتیپ‌ها از رویه Disparity Index Analysis و جهت بررسی تنوع نوکلئوتیدی از رویه Tajimas test نرم افزار MEGA4 استفاده شد (۲۶). در این تحقیق به کمک یک آنالیز ایندکس عدم توافق بر اساس فاصله ترکیب نوکلئوتیدی توالی‌ها، هاپلوتیپ‌ها را نیز می‌توان تشخیص داد.

نتایج و بحث

استخراج DNA از خون در تمامی نمونه‌ها با موفقیت انجام شد. نتایج طیف سنجی نشان داد که DNA استخراج شده از کیفیت مناسبی برای PCR برخوردار است. الکتروفوروز محصولات واکنش زنجیره‌ای پلیمراز بر روی ژل آگارز ۱/۵ درصد نشان داد که پرایمرهای طراحی شده به خوبی فعالیت نموده و قطعات اختصاصی برای ژن‌های Cyt-b و HVR ۱&2 به طول ۷۰۱ و ۷۵۱ جفت باز به ترتیب تولید نمودند. وجود کنترل منفی پاک و قطعات اختصاصی نشان از دقت و صحت انجام واکنش داشت. علاوه بر این وجود یک باند اختصاصی نشان داد که توالی مشابه‌ای برای جفت شدن آغازگرهای طراحی شده در محل‌های دیگر ژنوم وجود نداشته است

mtDNA در کشور تحقیقی که به منظور شناسایی جایگاه‌های مبتنی بر توالی یابی ناحیه حفاظت شده D-loop صورت گرفته باشد، مشاهده نشده است. بنابراین مطالعه این جایگاه‌ها به منظور شناسایی بهتر نژادهای بومی کشور ضروری است. تنوع زیاد گونه‌ها و زیر گونه‌ها، اطلاعات ناقص در مورد منشا اهلی شدن و همچنین عدم انجام مطالعات ژنتیکی، مبنای انجام این پژوهش، به منظور بررسی میزان تنوع موجود در این دو جمعیت (کوهان دار و بدون کوهان) و تجزیه و تحلیل فیلوژنتیکی این نژادها جهت بررسی توالی جایگاه‌های ژنی Cyt-b از DNA D-loop میتوکندریایی در گاوها سیستانی، سرابی و براون سوئیس بود.

مواد و روش‌ها

نمونه گیری خون و استخراج DNA

نمونه‌های خون از سه جمعیت گاوهای بومی ایران شامل گاوهای بدون کوهان سرابی و براون سوئیس و گاو کوهان دار سیستانی از بانک خون گروه علوم دامی دانشکده کشاورزی دانشگاه فردوسی مشهد که بانک ژنومی ایران نیز می‌باشد تهیه و از هر نژاد ۲۰ نمونه خون با اطمینان از عدم رابطه خویشاوندی بین نمونه‌ها انتخاب گردید. نمونه‌های خون تا زمان استخراج در لوله‌های حاوی EDTA در فریزر در دمای -۲۰ درجه نگهداری شد. استخراج DNA با استفاده از کیت DIAtom DNA Prep محصول شرکت Isogene کشور روسیه مبتنی بر روش بوم و همکاران (۵)، صورت گرفت. کمیت و کیفیت DNA استخراج شده به روش طیف‌سنجی با استفاده از دستگاه اسپکتروفوتومتر Nano Drop- ND 2000 شرکت Thermo Amerika سنجیده شد.

طراحی پرایمر

طراحی پرایمر برای تکثیر بخشی از توالی ژن ۱&2 HVR و mtDNA Cyt-b با استفاده از نرم افزار ۵ Primer Premier گرفت (جدول ۱). سپس با استفاده از رویه BLAST در پایگاه بانک جهانی ژن، میزان همپوشانی آنها با توالی‌های موجود مقایسه گردید.

واکنش زنجیره‌ای پلیمراز

واکنش زنجیره‌ای پلیمراز برای تکثیر قطعات ۷۰۱ و ۷۵۱ بازی نواحی ژنی ۱&2 HVR و Cyt-b از mtDNA توسط دستگاه T-personal، Biometra، Germany استاندارد انجام شد. اجزای واکنش PCR در حجم نهایی ۲۵

• (شکل ۲)

جدول ۱- توالی پرایمروهای اختصاصی ژن های Cyt-b و D- loop

نام پرایمر	ناحیه ژنی	شماره دسترسی (دامنه تکثیر)	توالی پرایمر	قطعه تکثیر شده (bp)
Cyt-F	Cyt- <i>b</i>	AF492350*	CGCTTCCATAAATACAAAGAGCCT	
Cyt-R		(14375-15125)	CGCTTCCATAAATACAAAGAGCCT	751
HVR 1&2-F	D- loop	AF492350*	CGCTTCCATAAATACAAAGAGCCT	
HVR 1&82-R		(15444-16144)	CGCTTCCATAAATACAAAGAGCCT	701

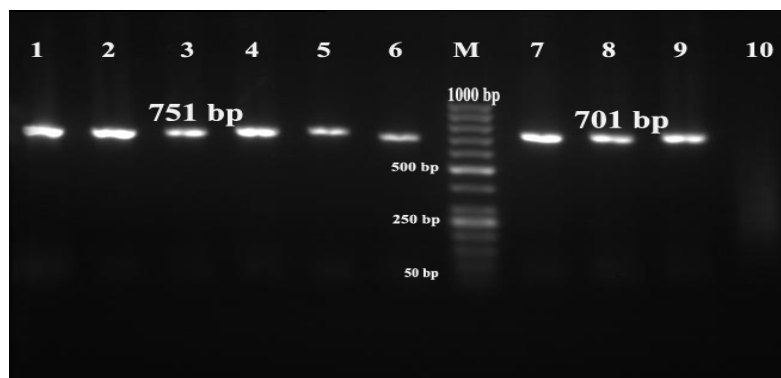
*: شماره ثبت ژن در بانک جهانی ژن

جدول ۲- شرح برنامه واکنش زنجیره‌ای پلیمر از جهت تکشیز HVR 1&2

تعداد چرخه	تکثیر نهایی	اتصال	واسرت
۱	-----	-----	۹۵ درجه ۵ دقیقه
۳۵	۹۵ درجه ۰ ثانیه	۶۰ درجه ۴۵ ثانیه	۷۲ درجه ۳۵ ثانیه
۱	۷۲ درجه ۵ دقیقه	-----	-----

جدول ۳- شرح برنامه واکنش زنجیره ای پلی مراز جهت تکثیر

تعداد چرخه	تکثیر نهایی	اتصال	واسرشت
۱	-----	-----	۹۵ درجه ۵ دقیقه
۳۵	۹۵ درجه ۳۰ ثانیه	۶۷ درجه ۴۵ ثانیه	۷۲ درجه ۳۵ ثانیه
۱	۷۲ درجه ۵ دقیقه	-----	-----



شکل ۲- الکتروفورز محصولات واکنش زنجیره‌ای پلیمراز زن‌های ۱&۲ HVR و *b*-Cyt. شماره ۱-۵: محصولات PCR زن

نیشانگر وزنی M50 از بالا به پایین بر حسب چفت باز به قرار زیر می باشد (۱۰۰۰-۹۰۰-۸۰۰-۷۰۰-۶۰۰-۵۰۰-۴۰۰-۳۰۰-۲۵۰-۲۰۰-۱۵۰-۱۰۰-۵۰).
Cyt-b PCR ناخیه ۹-۶ محصولات PCR شماره ۱۰: کنترل منفی، M: نیشانگر وزنی مورد استفاده برای تعیین اندازه محصولات PCR. اندازه باندهای

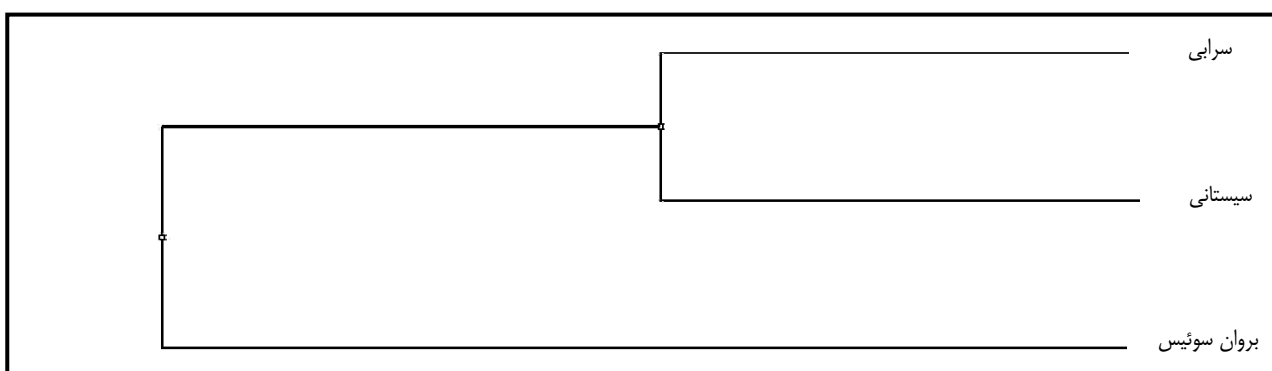
کوهان دار (سیستانی) و بدون کوهان ایران (سرایی) با اینکه در دو گروه هاپلوتیپی مجزا قرار دارند ولی دارای نزدیکی زیادی به هم می‌باشند. این امر ممکن است نشان دهنده نزدیکی منشا خاستگاه این دو نژاد باشد.

این نتایج با بررسی لی و همکاران (۲۵)، در سال ۲۰۰۶ که مطالعه‌ای بر روی جایگاه D-loop میتوکندریالی گاوهای چینی انجام داده اند، مطابقت دارد. آنالیز فیلوجنتیکی این توالی‌ها در هر دو نوع گاوهای بدون کوهان و کوهان‌دار چینی منجر به طبقه‌بندی آنها به دو گروه عمده گاوهای شمالی و جنوبی گردید.

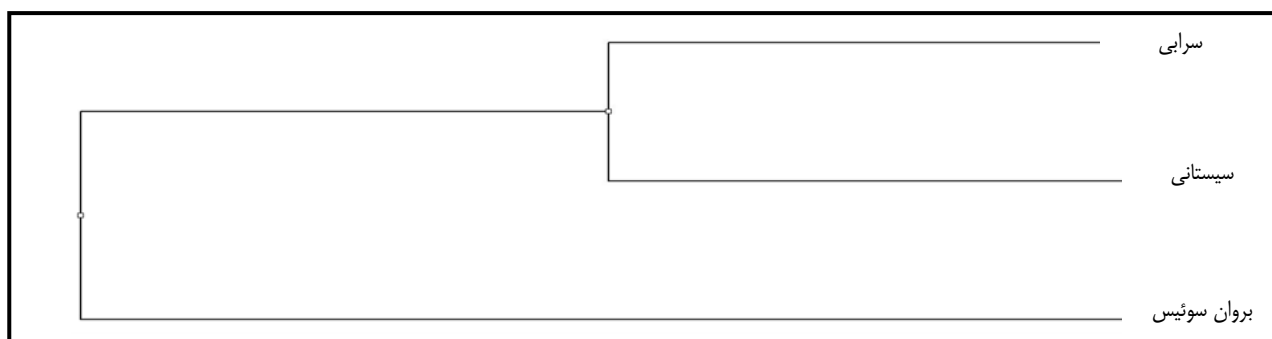
تعیین توالی های مورد توافق^۱ یکی از روش های معمول جهت ثبت و شناسایی نژادهای مختلف می باشد. توالی های برای HVR 1&2 و Cyt-*b* به ترتیب به طول ۶۵۱ و ۶۰۲ گفت باز به عنوان توالی شاخص در نژادهای مورد مطالعه، تعیین گردید.

به منظور بررسی رابطه فیلوجنتیکی نژادهای مورد مطالعه، نمودار دخته، با استفاده از توال ها، هم دیف شده، سه گ دید.

این تصاویر دسته بنده هاپلوتیبی نمونه‌ها را بر اساس هم‌ردیف شدن تایید کرد. آنالیز اطلاعات نشان داد که دو نژاد گاوی‌های



شکل ۳- درخت فیلوجنتیکی بر اساس روش Neighbor-Joining گاوهای سرابی، سیستانی و براون سوئیس برای جایگاه Cyt-b



شکل ۴- رابطه فیلوجنتیکی بر اساس روش Neighbor-Joining گاوهای سرابی، سیستانی و براون سوئیس برای جایگاه HVR 1&2

ژنوم میتوکندریالی دو نژاد بی کوهان و کوهان دار انجام دادند. توالی های بدست آمده به طول ۱۶۳۳۸ و ۱۶۳۳۹ نوکلئوتید بودند که در ۲۳۷ موقعیت با هم تفاوت داشتند. در مجموع تعداد ۲۱۰ هاپلوتیپ در این مطالعه مشاهده گردید. با اینکه در تحقیق ما تنها سه گروه هاپلوتیپی مشخص گردید اما می توان بر این امر تأکید نمود که با افزایش تعداد نمونه ها و گسترش ناحیه مورد مطالعه علاوه بر تعیین گروه های هاپلوتیپ بیشتر، می توان محل خاستگاه و تعداد جایگاه چندشکل را نیز در نژادهای بومی ایران تخمین زد.

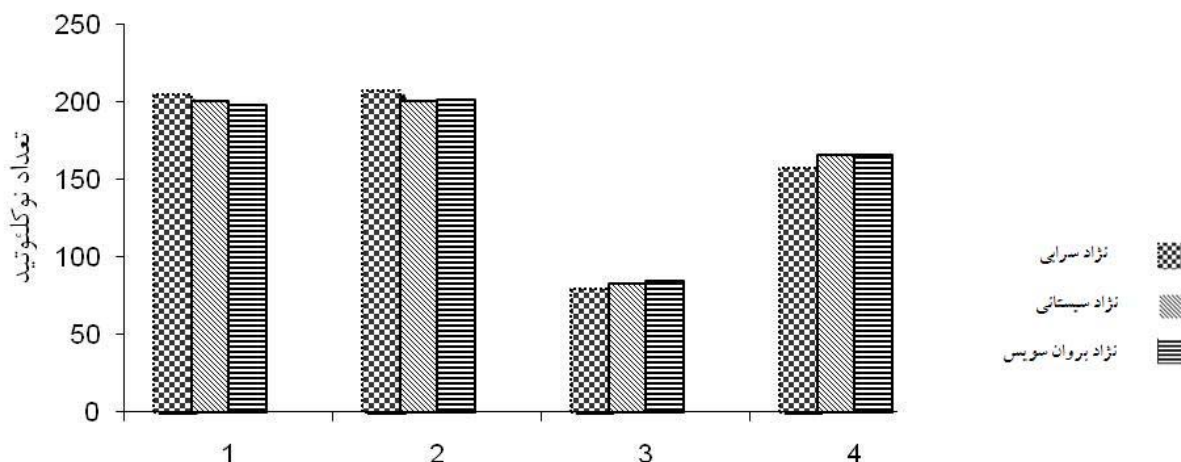
بررسی تنوع ترکیب چهار باز موجود در جایگاه های HVR 1&2 Cyt-b برای سه نژاد سرابی، سیستانی و براون سوئیس در شکل های ۵ و ۶ نشان داده شده است. با استفاده از این ترکیب نوکلئوتیدی می توان به مقادیر A, T, C و G، نسبت G+C و A+T و وزن مولکولی یک رشته و دو رشته دسترسی پیدا کرد. همچنین امکان استفاده از این داده ها در آنالیزهای تنویر و بررسی هاپلوتیپ ها وجود دارد. لذا تفاوت ردیف نوکلئوتیدی نواحی HVR و Cyt-b به صورت مجزا در نژادهای براون سوئیس، سرابی و سیستانی با استفاده نرم افزار MultAlin بررسی گردید (شکل ۷ و ۸).

مطالعات ژنتیکی و ریخت شناسی نشان داده اند که گاو بومی ژاپن از نوع بدون کوهان بوده و نماینده نوع Turano-Mongolian می باشد (۲۵). در عین حال داده های ژنتیکی بیشتری در مورد خاستگاه بدون کوهان در شمال شرق آسیا وجود ندارد. علاوه بر این، برای اصلاح گاوهای بومی در چند کشور شرق آسیا از چند نژاد براون سوئیس بر این موضوع تاکید می کنند که علاوه بر فاصله براون سوئیس از نژادهای بومی، برای تعیین خاستگاه اصلی و دقیق آن به داده های ژنتیکی بیشتری نیاز می باشد.

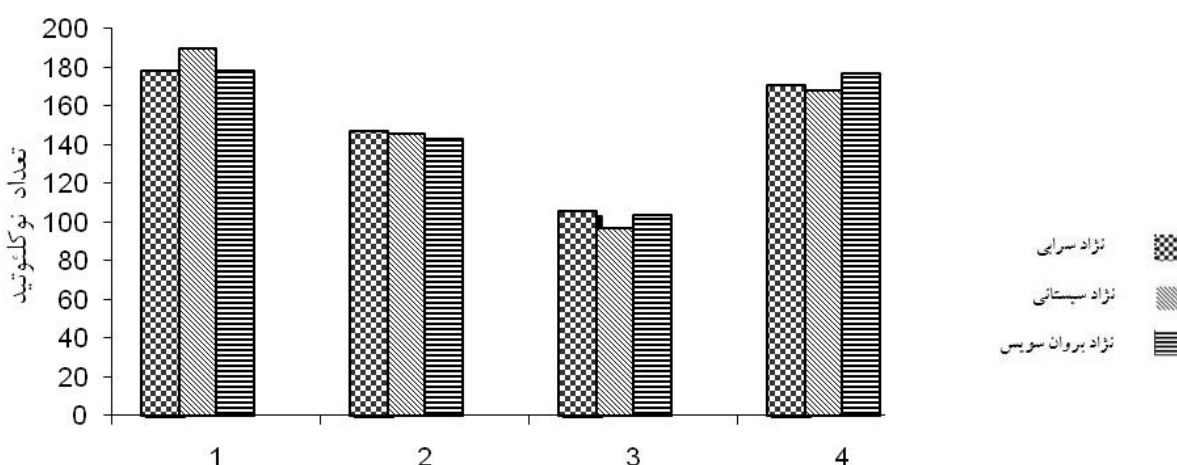
هر چند گسترش جغرافیایی گروه های کوهان دار و بی کوهان در این تحقیق مورد بررسی قرار نگرفت، اما آنالیزهای فیلوجنتیک بر داشتن فاصله بین نژادهای مورد مطالعه تاکید دارد. همچنین تحقیقات صورت گرفته بر روی گاوهای بومی چین به کمک توالی یابی Cyt-b نیز یک تنوع شیب دار از جنوب به سمت شمال چین را نشان داد به طوریکه سهم زبده کوهان دار از جنوب به سمت شمال کمتر شده و سهم تأثیرین بدون کوهان بیشتر می شود (۲۸). هندر و همکاران در سال (۱۵)، تحقیقی را بر روی توالی کامل

فاصله میان نژادهای سرابی و براون سوئیس وجود دارد. همانطور که در ماتریکس جدول ۳ ملاحظه می‌شود در مجموع سه هاپلوتایپ برآورد گردید، که این مطلب رسم صحیح نمودار فیلوژنتیکی بر اساس رویه Neighbor-Joining برای نمونه‌ها و تعیین هاپلوتایپ‌ها را تایید می‌کند (جدول ۳).

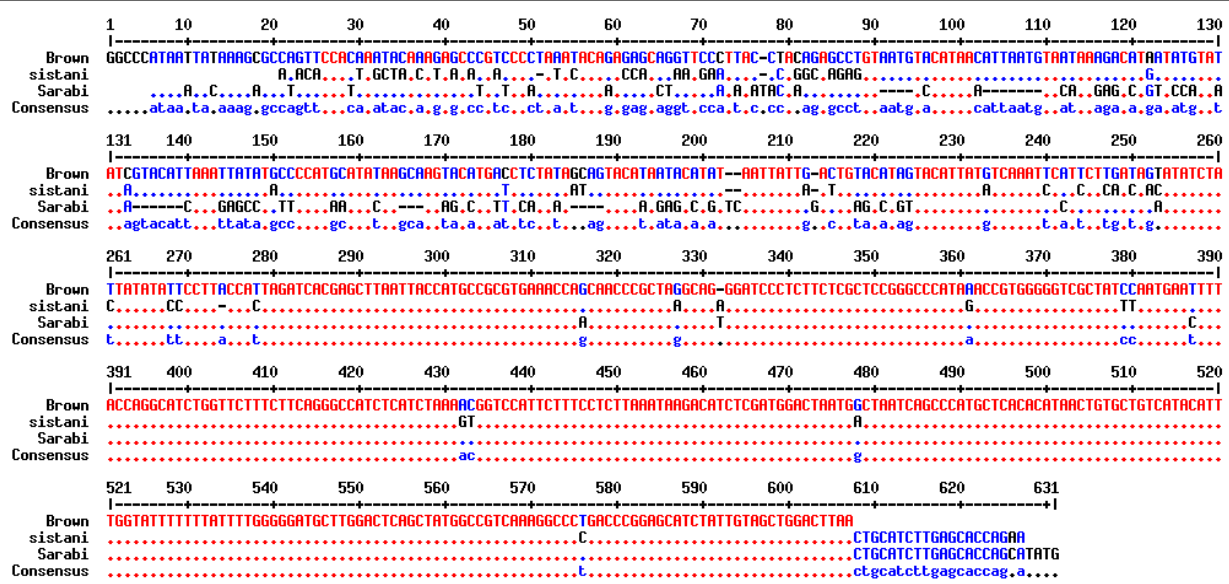
این توالی‌ها با بخش مشابه خود از توالی HVR 1&2 Cyt-b در ژنوم‌های میتوکندری موجود در پایگاه NCBI در سطح ۹۹٪ دارای بیشترین همپوشانی بود. در مورد جایگاه HVR 1&2 و Cyt-b برای گاوهای سیستانی حداکثر مشابهت با نژادهای کوهان دار و برای گاوهای سرابی و براون سوئیس با گاوهای بدون کوهان بدست آمد. فاصله ترکیب نوکلئوتیدی در بین نمونه‌ها نشان داد که بیشترین



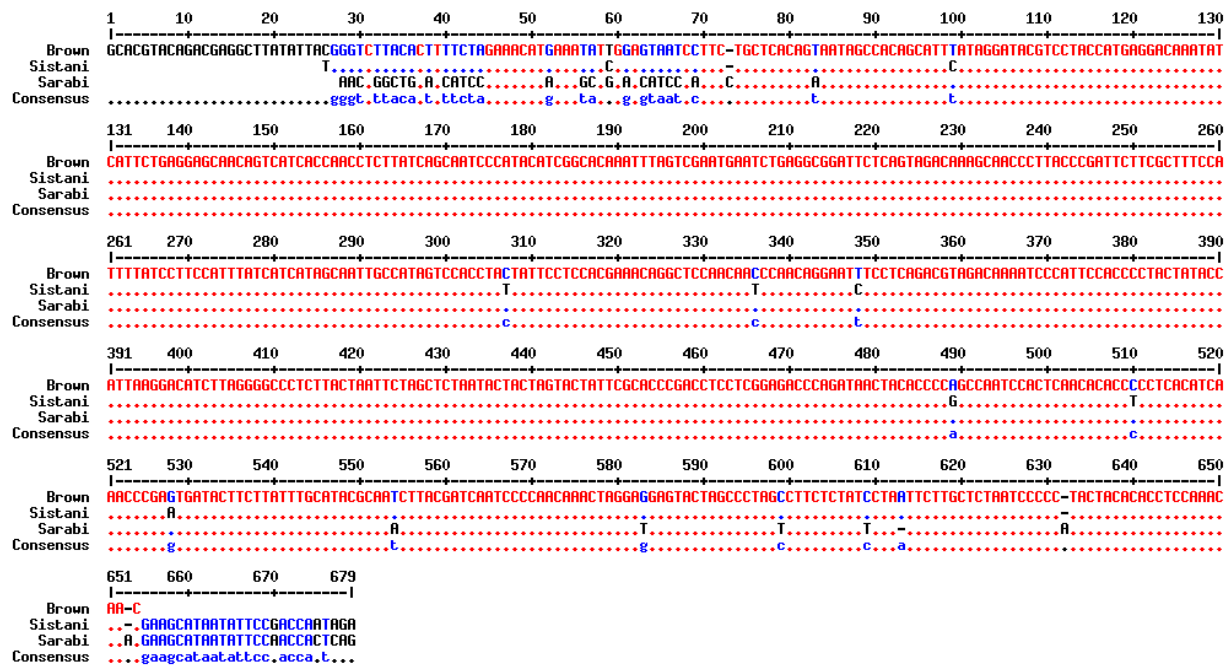
شکل ۵- تنوع نوکلئوتیدی جایگاه Cyt-b. شماره ۱: تعداد نوکلئوتید آدنین، ۲: تعداد نوکلئوتید سیتوزین، ۳: تعداد نوکلئوتید گوانیدین، ۴: تعداد نوکلئوتید تیمین



شکل ۶- تنوع نوکلئوتیدی جایگاه HVR 1&2. شماره ۱: تعداد نوکلئوتید آدنین، ۲: تعداد نوکلئوتید سیتوزین، ۳: تعداد نوکلئوتید گوانیدین، ۴: تعداد نوکلئوتید تیمین



شکل ۷- تفاوت رده نوکلئوتیدی ناحیه HVR از DNA میتوکندری



شکل ۸- تفاوت رده نوکلئوتیدی ناحیه Cyt-b از DNA میتوکندری

جدول ۳- ماتریکس آنالیز ایندکس عدم توافق برای نژادهای براون سوئیس، سرابی و سیستانی

نژاد	براون سوئیس	براون سوئیس	سرابی	سیستانی
براون سوئیس	۰/۰۲۴	۰/۰۱۵	۰/۰۱۱	۰/۰۱۱
سرابی	۰/۰۲۴	۰/۰۲۴	۰/۰۱۱	۰/۰۱۱
سیستانی	۰/۰۱۵	۰/۰۱۵	۰/۰۱۱	۰/۰۱۱

بین گروههای هاپلوتیپی مورد مطالعه در این پژوهش به ترتیب برای نژادهای براون سوئیس، سرابی و سیستانی حدود ۰/۰۳۷، ۰/۰۰۲۴ و ۰/۰۰۲۰

یکی از شاخصهایی که برای تعیین رابطه بین نژادهای مختلف مورد بررسی قرار می‌گیرد، تنوع نوکلئوتیدی می‌باشد. تنوع نوکلئوتیدی

از یک جمعیت منشا گرفته‌اند. همچنین دو نژاد سرایی و سیستانی به عنوان دو نژاد ایرانی در یک زیر گروه قرار گرفتند. اگرچه انجام مطالعه در مقیاس وسیع و با تعداد نمونه بالا در حال حاضر محدود نیست اما انجام تحقیق در مقیاس کوچک و انتخاب توالی بخش‌هایی از ژن که توالی آنها در بانک ژن موجود بوده و مقایسه توالی‌هایی به دست آمده با آنها می‌تواند به اطلاعات بدست آمده برای گاوهای بومی ایران کمک نموده و زمینه را برای استفاده بهتر از آنها در برنامه‌های اصلاحی فراهم آورد.

تشکر و قدردانی

از معاونت پژوهشی و فناوری دانشگاه فردوسی مشهد که اعتبار انجام این پژوهش را تأمین نمود و از آزمایشگاه بیوتکنولوژی حیوانی دانشکده کشاورزی که امکانات و تجهیزات مورد نیاز را در اختیار محققان قرار داد، صمیمانه تشکر و قدردانی می‌شود.

۰/۰۰۲۹ برآورد شد. از مقایسه این میزان با مقدار تنوع مربوط به گاوهای نژاد چینی (۲۸)، و چند نژاد آسیایی (۲۵)، تنوع به دست آمده با توجه به اندازه نمونه، معقول به نظر می‌رسد. اگرچه تنوع نوکلئوتیدی محاسبه شده برای نژادهای ایرانی کمتر از مقادیر گزارش شده برای این سه گروه هاپلوتیپی است (۱۴)، اما میزان آن نسبت به گاوهاشی شمال چین (۲۸)، بیشتر می‌باشد. کم بودن میزان تنوع در جمعیت‌های مورد مطالعه ممکن است به دلیل کوچکی اندازه نمونه باشد (۱۴).

با توجه به اینکه اکثر گاوهاشی ایرانی از زیر گروه کوهان دار می‌باشند، لذا مطالعه گاو سیستانی به عنوان شاخص آنها از اهمیت خاصی برخوردار است. از طرف دیگر مطالعه نژادهای گاو زیر گروه تاثورین بدون کوهان همانند گاوهاشی سرابی و بروان سوئیس نیز از نظر جایگاه‌های mtDNA به منظور تعیین فاصله با گاو سیستانی صورت گرفت. نتایج این مطالعه نشان داد که در مجموع ۳ نژاد مورد بررسی به لحاظ فیلوجنتیکی به یکدیگر نزدیک بوده و احتمالاً همگی

منابع

- Amills, M., J. Capote, A. Tomas, L. Kelly, and G. Obexer-Ruff. 2004. Strong phylogeographic relationships among three goat breeds from the Canary Islands. *J. Dairy Res.* 71(3):257–262.
- Anderson, S. A. T., G. Bankier, M. Barrell, A. De Bruijn, J. Couson, I. Drouin, B. Nierlich, F. Roe, P. H. Sanger, and I. G. Young. 1981. Sequence and organization of the human mitochondrial genome. *Nature* 290:457-465.
- Azor, P. J., L. V. Monteagudo, M. Luque, M. T. Tejedor, and E. Rodero. 2005. Phylogenetic relationships among Spanish goats breeds. *Anim. Genet.* 36(5): 423–425.
- Bellagamba, F., V. M. Moretti, S. Comincini, and F. Valfare. 2001. Identification of species in animal feedstuffs by polymerase chain reaction restriction fragment length polymorphism analysis of mitochondrial DNA. *J. Agr. Food Chem.* 49: 3775-3781.
- Boom R, C J .A. Sol, M. M. M Salimans, C. L. Jasen, P. M. E. WertheimVan Dillen, and J Van Der Noordaa. 1990. Rapid and simple method for purification of nucleic acids. *J. Clin. Microbiol.* 28(3): 495-503.
- Boore, J. L. 1999. Animal mitochondrial genomes. *Nucleic Acids Res.* 27:1767-1780.
- Bradley, D., D. MacHugh, P. Cunningham, and R. Loftus. 1996. Mitochondrial diversity and the origins of African and European cattle. *Proc. Natl. Acad. Sci. USA* 93: 5131–5135.
- Bruford, M., D. Bradley, and G. Luikart. 2003. DNA markers reveal the complexity of livestock domestication. *Nat. Rev. Genet.* 3:900–910.
- Colgan, S., L. Obrian, M. Maher, N. Shilton, K. McDonnell, and S. Ward. 2001. Development of a DNA- based assay for species identification in meat and bone meal. *J. Food Res. Hnt.* 34: 409-414.
- Colombo, F., E. Marchisio, A. Pizzini, and C. Cantoni. 2002. Identification of the goose species (*Anser anser*) in italian mortara salami by DNA sequencing and a polymerase chain reaction with an original primer pair. *J. Meat Sci.* 61:261-294.
- Conrad, A. M., and S. K. Davis. 2001. Molecular Hnshghts into the Evolution of the Family Bovidae: A Nuclear DNA Perspective. *J. Mol. Biol. Evol.* 18:1220-1230.
- Ghovvati, S., M. R. Nassiri, S. Z. Mirhoseini, A. H. Moussavi, and A. Javadmanesh. 2009. Fraud identification in industrial meat products by multiplex PCR assay. *Food Control*, 20: 696-699.
- Groves, T., P. Katis, Z. Madden, K. Manickam, D. Ramsdem, G. Wu, and C. J. Guidos. 1995. In vitro maturation of clonal CD4+CD8+ cell lines in response to TCR engagement. *J. Immunol.* 154: 5011-5022.
- Hiendleder, S., B. Kaupe, and A. Janke. 2008. Complete mitochondrial genomes of *Bos taurus* and *Bos indicus* provide new insights into intraspecies variation, taxonomy and domestication. *Cytogenet. Genome Res.* 120:150–156.

- 15- Hiendleder, S., H. Lewalski, R. Wassmuth, and A. Janke. 1998. The complete mitochondrial DNA sequence of the domestic sheep (*Ovis aries*) and comparison with the other major ovine haplotype. *J. Mol. Evol.* 47:441-448.
- 16- Hiendleder, S., K. Mainz, Y. Plante, and H. Lewalski. 1998. Analysis of mtDNA indicate that domestic sheep are derived from two different ancestral maternal sources: no evidence for contribution from urial and argali sheep. *J. heredity*, 89:113-120.
- 17- <http://www.mbio.ncsu.edu/BioEdit/bioedit.html>
- 18- Jazin, E., H. Soodyall, P. Jalonan, E. Lindholm, M. Stoneking, and U. Gyllensten. 1998. Mitochondrial mutation rate revisited: hot spots and polymorphism. *Nature Genet.* 18:109-110.
- 19- Kim, K. H., and J. H. Lee. 2002. Phylogenetic relationships of Asian and European Pig breeds determined by mitochondrial DNA D-LOOP sequence polymorphism. *J. Anim. Genet.* 33:19-25.
- 20- Loftus, R. T., D. E. Machugh, D. G. Bradley, P. M. Sharp, and P. Gunnigham. 1994. Evidence for tow independent domestication of Cattle. *J. Proc. Natl. Acad. Sci.* 91:2757-2761.
- 21- Manjunath, B., K. Paramod, and K. Rout. 2003. Phelogeography and origin op Indian domestic goats. *Mol. Biol. Evol.* 21:223-233.
- 22- Mannen, H., M. Kohno, Y. Nagata, S. Tsuji, and D. G. Bradley. 2004. Independent mitochondrial origin and historical genetic differentiation in North Eastern Asian cattle. *Mol. Phylogenet. Evol.* 32:539-544.
- 23- Naderi, S., H. R. Rezaei, P. Taberlet, S. Zundel, S. A. Rafat, H. R. Naghash, M. A. el-Barody, O. Ertugrul, F. Pompanon, and Econogene Consortium. 2007. Large-Scale Mitochondrial DNA Analysis of the Domestic Goat Reveals Six Haplogroups with High Diversity. *Plos one.* 10:1-10.
- 24- Pegoraro, L., Z. Yang, S. samake, and F. V. Meirelles. 1996. Sequence Comparison of Mitochondrial tRNA genes and origin of light strand replication in Bos tarsus and Nellore (*Bos indicus*) breeds. *J. Anim. Genet.* 27(2):91-94.
- 25- Lai, S. J., S. Y. Chen, Y. P. Liu, and Y. G. Yao. 2006. Mitochondrial DNA sequence diversity and origin of Chinese domestic yak. *Anim. Genet.* 38:77–80.
- 26- Tamura K., J. Dudley, M. Nei, and S. Kumar. 2007. MEGA4: Molecular Evolutionary Genetics Analysis (MEGA) software version 4.0. *Mol. Biol. Evol.* 24:1596-1599. (Publication PDF at <http://www.kumarlab.net/publications>).
- 27- Teletchea, F., C. Maudet, and C. Hanni. 2005. Food and forensic molecular identification: update and challenges. *Trends Biotechnol.* 23:359-366.
- 28- Xin C., H. Chen, C. Lei, S. Wang, K. Xue, and B. Zhang. 2007. mtDNA diversity and genetic lineages of eighteen cattle breeds from *Bos taurus* and *Bos indicus* in China. *Genetica*, 131:175–183.
- 29- Zeder, M., E. Emshwiller, B. Smith, and D. Bradley. 2006. Documenting domestication: the intersection of genetics and archaeology. *Trends Genet.* 22:139-155.